

УДК 539.3

МОДИФИКАЦИЯ МЕТОДИКИ ЧИСЛЕННОГО РЕШЕНИЯ РЕГУЛЯРНЫХ ГРАНИЧНЫХ ИНТЕГРАЛЬНЫХ УРАВНЕНИЙ ТРЕХМЕРНОЙ ДИНАМИЧЕСКОЙ ТЕОРИИ УПРУГОСТИ^{*)}

А.А. Белов, А.Н. Васильев, Л.А. Игумнов, С.Ю. Литвинчук

НИИМ Нижегородского госуниверситета им. Н.И. Лобачевского

Обсуждаются вопросы гранично-элементного решения интегральных уравнений на одиночной плоской волне, построенных для решения краевых задач трехмерной динамической теории упругости. Используется интервальная математика – двусторонние методы численного решения. Представлены результаты численных экспериментов.

Ключевые слова: граничный элемент, неклассические граничные интегральные уравнения, трехмерная динамическая теория упругости, достоверность вычислений.

Введение

Статья посвящена разработке гранично-элементной схемы решения. Развивается подход, являющийся альтернативой формулам граничных интегральных уравнений (ГИУ) на основе двойного применения теоремы взаимности, восходящий к работе Д. Нардини и К.А. Бреббия [1]. Неоспоримым достоинством подхода является отсутствие неустраняемой ошибки численного моделирования, возникающей в подходе Нардини–Бреббия, что является следствием использования точных ГИУ, эквивалентных исходной дифференциальной постановке.

1. Постановка задачи и метод решения

Уравнения движения упругодеформируемой среды и краевые условия имеют вид:

$$Lu = 0, \quad L = \sigma_{ij,j} - \partial_i^2, \quad (l^0 u)_i \equiv u_i|_{\partial\Omega}, \quad (l^1 u)_i \equiv \sigma_{ij}(u)n_j|_{\partial\Omega} \equiv c_{ijkl}n_j u_{l,k},$$

где $\sigma_{ij} = c_{ijkl}u_{kl}$, σ – тензор напряжений; u – вектор смещений; c_{ijkl} – модули упругости ($i, j, k, l = 1, 2, 3$).

Тензор Грина для линейной анизотропной теории упругости можно найти в [2]:

$$U(x, \omega) = -c\Delta \int_{S^2} \bar{u} dS(n) = -c\Delta \int_{S^2} G(nx, \omega, n) F^{(0)} dS(n),$$

^{*)} Выполнено в рамках реализации ФЦП «Научные и научно-педагогические кадры инновационной России» на 2009–2013 годы, гранта Президента РФ для государственной поддержки ведущих научных школ РФ (проект НШ-3367.2008.8).

$$G(\xi) = \sum_{\alpha=1}^3 e^{ik_{\alpha}|\xi|} \frac{1}{2ik_{\alpha}\lambda_{\alpha}} A_{\alpha}(\operatorname{sgn} \xi) \otimes A_{\alpha}(\operatorname{sgn} \xi), \quad \xi = nx,$$

$$U(x, t) = (2\pi)^{-1} \int_{-\infty}^{+\infty} U(x, \omega) e^{-i\omega t} d\omega, \quad \lambda_{\alpha} = \frac{1}{2} A_{\alpha}(\nu_{\alpha}^2 M + K) A_{\alpha}, \quad \nu_{\alpha} = \omega / k_{\alpha},$$

где $K = L_0(n)$, $M = \rho I$, $F^{(0)} = 1$, $g_S = \bar{u}$, ρ – плотность, I – единичная матрица.

Для динамических задач справедливы следующие уравнения [3]:

$$\gamma \hat{A}_{\alpha} \otimes \hat{A}_{\alpha} \int_{\Gamma} [l^1 e^{ik_{\alpha}n(x-y)} l^0 \psi(y) - e^{ik_{\alpha}n(x-y)} l^1 \psi(y)] d_y \Gamma = 0, \quad (1)$$

$$\gamma \hat{A}_{\alpha} \otimes \hat{A}_{\alpha} \int_{\Gamma} [l^1 \delta(\tau) * l^0 \psi(y, t) - \delta(\tau) * l^1 \psi(y, t)] d_y \Gamma = 0, \quad (2)$$

$$\det A(k_{\alpha}) = 0, \quad A(k, \omega, n) \hat{A} = 0, \quad A^*(k_{\alpha} \operatorname{sgn} \xi) = \operatorname{tr} A^*(k_{\alpha}) \hat{A}_{\alpha}(\operatorname{sgn} \xi) \otimes \hat{A}_{\alpha}(\operatorname{sgn} \xi),$$

$$\tau = t - \frac{n(x-y)}{\nu_{\alpha}},$$

$$\pm \gamma c \sum_{\alpha=1}^3 i g_S(k_{\alpha}) \int_{\Gamma} [l^1 e^{ik_{\alpha}n(x-y)} l^0 \psi(y) - e^{ik_{\alpha}n(x-y)} l^1 \psi(y)] d_y \Gamma = 0, \quad (3)$$

$$\pm \gamma c \sum_{\alpha=1}^3 i g_S(k_{\alpha}) \int_{\Gamma} [l^1 \delta(\tau) * \psi(y, t) - \delta(\tau) * l^1 \psi(y, t)] d_y \Gamma = 0. \quad (4)$$

Таким образом, решение задачи методом ГИУ означает, что выполняются соответствующие соотношения из (1)–(4) для собственных чисел k_{α} и собственных векторов \hat{A}_{α} . Для теории упругости из уравнений (1) с учетом соотношения

$$\frac{iA^*(k_{\alpha} \operatorname{sgn} \xi)}{[\det A(k)]'_{k=k_{\alpha}}} = \frac{1}{2ik_{\alpha}\lambda_{\alpha}} A_{\alpha}(\operatorname{sgn} \xi) \otimes A_{\alpha}(\operatorname{sgn} \xi)$$

выделяется интегральное уравнение, совпадающее (при $x=0$) с уравнением из [4, 5].

В работе [4] В.А. Бабешко предложил метод построения новых интегральных уравнений для решения краевых задач. В дальнейшем этот подход был применен А.О. Ватульяном [5]. Соответствующие уравнения для изотропного случая выглядят следующим образом [6]:

$$\int_S U(x, n) e_u^1(x) dS + \int_S T(x, n) e_u^0(x) dS = 0, \quad (5)$$

$$T = \mu i s \cdot \begin{pmatrix} Am_1 + Bn_1 & Am_2 + Bn_2 & Am_3 + Bn_3 \\ Dn_1 - Bn_3 & Dn_2 & Bn_1 + Dn_3 \\ Cn_1 & Bn_3 + Cn_2 & Cn_3 - Bn_2 \end{pmatrix},$$

$$U = e \cdot \begin{pmatrix} n_1 & n_2 & n_3 \\ n_3 & 0 & -n_1 \\ 0 & -n_3 & n_2 \end{pmatrix},$$

$$s = \text{diag}(-2k_1e_1, k_2e_2, k_2e_2), \quad e = \text{diag}(e_1, e_2, e_2), \quad e_j = \exp[ik_jnx],$$

$$A = \frac{v}{1-2v}, \quad B = mn, \quad C = n \times i_1m, \quad D = n \times i_2m.$$

На базе уравнений (1), (2) можно построить МГЭ-схему решения динамических краевых задач.

2. Численные исследования

Первый численный результат на основе уравнения (5) был получен в [6] для задачи об установившихся крутильных колебаниях изотропного упругого цилиндрического тела. Следующие численные результаты для трехмерного случая упругой динамики получены в [7]. Применение достоверных вычислений на этапе формирования из дискретного аналога разрешающей системы линейных алгебраических уравнений позволяет построить модифицированную гранично-элементную методику. Поиск решения системы на основе достоверных вычислений открывает новые возможности для МГЭ.

Для демонстрации возможностей применения достоверных вычислений при решении систем линейных алгебраических уравнений рассмотрим следующий пример. В качестве входных данных рассмотрим систему Бутрида–Деккера. Элементы матрицы A определяются формулой:

$$a_{ij} = \binom{n+i-1}{i-1} \cdot \binom{n-1}{n-j} \cdot \frac{n}{i+j-1}, \quad i, j = 1, \dots, n.$$

Если правая часть b равна $(1, 2, \dots, n)$, то точное решение системы равно $(0, 1, -2, \dots, (-1)^n(n-1))$. При значении n , равном 6, получим следующую матрицу системы:

x_1	x_2	x_3	x_4	x_5	x_6
6	15	20	15	6	1
21	70	105	84	35	6
56	210	336	280	120	21
126	504	840	720	315	56
252	1050	1800	1575	700	126
462	1980	3465	3080	1386	252

и ее правую часть: $(1, 2, 3, 4, 5, 6)$.

Приближение в виде числа с плавающей точкой:

$$\begin{aligned} x_1 &= 0,00000000000024158453; & x_2 &= 0,99999999999761302050; \\ x_3 &= -1,99999999998962341152; & x_4 &= 2,99999999996864596952; \\ x_5 &= -3,99999999992343013844; & x_6 &= 4,99999999983769072287. \end{aligned}$$

Верификационный интервал:

$$\begin{aligned} \tilde{x}_1 &= [-0,00000115795675270647, \quad 0,00000115795781852057]; \\ \tilde{x}_2 &= [0,99999900660054330537, \quad 1,00000099339171977242]; \\ \tilde{x}_3 &= [-2,00000047928895474669, \quad -1,99999952068153818985]; \\ \tilde{x}_4 &= [2,99999973438622369315, \quad 3,00000026553113086081]; \end{aligned}$$

$$\tilde{x}_5 = [-4,00000123681682762111, -3,99999876299123702239];$$

$$\tilde{x}_6 = [4,99999305126426829560, 5,00000694834331316230];$$

Невязки:

$$\Delta_1 = 0,00000000000001776357; \quad \Delta_2 = 0,00000000000012789769;$$

$$\Delta_3 = 0,00000000000039790393; \quad \Delta_4 = 0,00000000000096633812;$$

$$\Delta_5 = 0,00000000000238742359; \quad \Delta_6 = 0,00000000000568434189.$$

Рассмотрены две задачи: о действии нестационарного давления на поверхности шара единичного радиуса и куба с единичной длиной ребра. Приведенные параметры Ламе и плотность материала: $\lambda=6$, $\mu=3$, $\rho=7$.

В момент времени $t=0$ к границе шара прикладывается равномерно распределенное нормальное давление интенсивности $p(t)$.

$$p(t) = \begin{cases} t, & 0 \leq t \leq 1; \\ 1, & t \geq 1. \end{cases}$$

Поверхности шара и куба разбиваются на 216 биквадратичных элемента, перемещения ищутся для всех угловых точек элементов конструкций, с учетом симметрии можно выделить 27 элементов, находящихся в положительной области декартовой системы координат. Обе задачи для классических ядер решались с учетом симметрии, а для модифицированных ядер решения искались по всей сетке. Гранично-элементная сетка на сфере строилась путем проекции равномерной сетки куба на сферу.

Численная МГЭ-схема для классических ядер описана в [8]. Вариант численной МГЭ-схемы, использованной для решения уравнения (5), построен на ее основе, однако есть два отличия: численное интегрирование по Гауссу организовано на основе формулы с фиксированным порядком и адаптивный алгоритм не применялся; для решения итоговой системы линейных алгебраических уравнений использовался алгоритм регуляризации по Тихонову.

На рис. 1 изображен куб и отмечены точки, для которых представлены результаты расчетов. Сетка на кубе является регулярной.

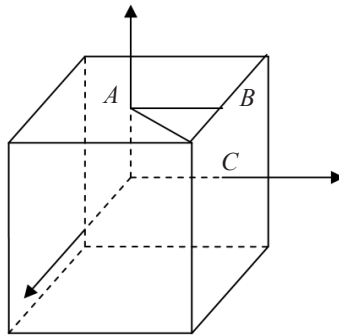


Рис. 1

Приведем результаты совместного использования МГЭ и алгоритма достоверных вычислений. На рис. 2 представлены перемещения поверхности шара. На рис. 3 представлены изменения по времени вектора перемещений в соответствующих точках куба.

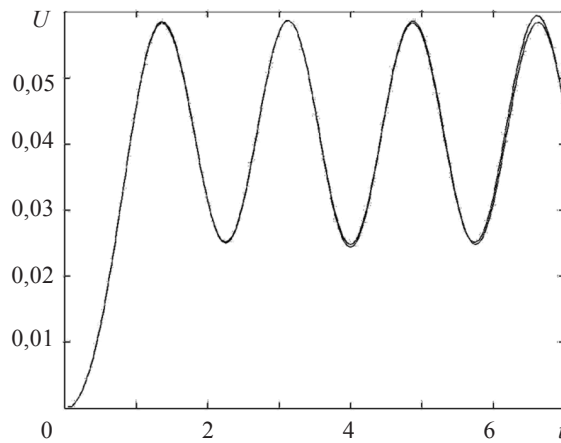


Рис. 2

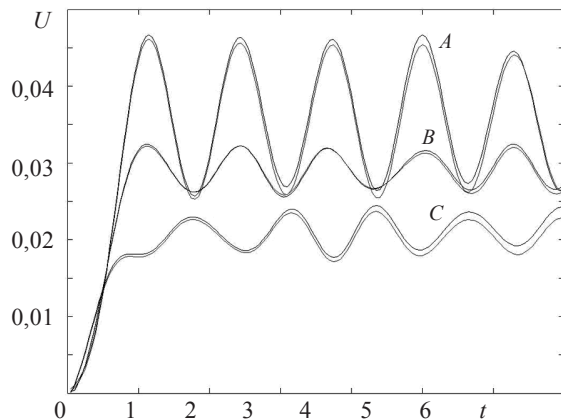


Рис. 3

Полученные результаты свидетельствуют о перспективности использования ГИУ на одиночной плоской волне в сочетании с двусторонними методами вычислений для решения трехмерных динамических задач теории упругости. Достигнутая точность расчетов не уступает точности МГЭ-схем для классических ГИУ.

Литература

1. Бреббия, К. Методы граничных элементов / К. Бреббия, Ж. Теллес, Л. Вроубел. – М.: Мир, 1987. – 524 с.
2. Norris, A.N. Dynamic Green's functions in anisotropic piezoelectric, thermoelastic and poroelastic solids / A.N. Norris // Proc. R. Soc. Lond. A. – 1994. – №447. – P. 175–188.
3. Игумнов, Л.А. Граничные интегральные уравнения трехмерных задач на плоских волнах / Л.А. Игумнов // Докл. РАН. – 2006. – Т. 409, №5. – С. 1–3.
4. Бабешко, В.А. Новый метод решения краевых задач механики сплошной среды и математической физики для неклассических областей / В.А. Бабешко // ДАН СССР. – 1985. – Т. 284, №1. – С. 73–76.
5. Ватульян, А.О. О граничных интегральных уравнениях I-го рода в динамических задачах анизотропной теории упругости / А.О. Ватульян // Докл. РАН. – 1993. – Т. 333, №3. – С. 312–314.
6. Ватульян, А.О. Новый вариант граничных интегральных уравнений и их применение

к динамическим пространственным задачам теории упругости / А.О. Ватульян, В.М. Шамшин // ПММ. – 1998. – Т.62, вып. 3. – С. 492–496.

7. *Игумнов, Л.А.* Численное решение интегральных уравнений на одиночной плоской волне для начально-краевых задач трехмерной теории упругости конечных тел / Л.А. Игумнов, А.А. Белов // Проблемы прочности и пластичности: Межвуз. сб. / Нижегород. ун-т. – 2006. – Вып. 68. – С. 22–26.

8. Гранично-элементная методика решения трехмерных нестационарных динамических задач теории упругости и вязкоупругости / Л.А.Игумнов [и др.] // Проблемы прочности и пластичности: Межвуз. сб. / Нижегород. ун-т. – 2005. – Вып. 67. – С. 91–101.

[12.10.2009]

**A MODIFICATION OF THE METHODOLOGY OF NUMERICAL ANALYSIS
OF REGULAR BOUNDARY INTEGRAL EQUATIONS
OF 3-D DYNAMIC ELASTICITY**

A.A. Belov, A.N. Vasilyev, L.A. Igumnov, Litvinchuk S.Yu.

Issues of the boundary-element analysis of integral equations on a single plane wave constructed for analyzing boundary-value problems of 3-D dynamic elasticity are discussed. Interval mathematics – double-sided methods of numerical solution – is used. The results of the numerical experiments are given.

Key words: boundary element, nonclassical boundary integral equations, 3-D dynamic elasticity, reliability of calculations.